

а температурное поле имеет вид (14), то решение для нулевого приближения (20) записывается в следующем виде:

$$\sigma_r^{(0)} = \frac{2(2\nu - 1)(1 + \nu)G^*}{(1 - \nu)\rho^3} \left\{ \frac{\gamma}{k_1} \left[0,1Ki\rho^3(1 - \rho^2) + \sum_{n=1}^{\infty} \frac{2Ki}{\mu_n^4 \cos \mu_n} \exp(-\mu_n^2 Fo) \times \right. \right. \\ \left. \left. \times \left(\frac{\sin \mu_n \rho}{\mu_n} - \rho \cos \mu_n \rho \right) \right] + \frac{k_1 + \gamma}{k_1} \left[\int_0^\rho \eta^2 t^* d\eta - \rho^3 \int_0^1 \eta^2 t^* d\eta \right] \right\}, \\ \sigma_\varphi^{(0)} = \sigma_\theta^{(0)} = \frac{(2\nu - 1)(1 + \nu)G^*}{1 - \nu} \left[t^* \left(1 + \frac{\gamma}{2} t^* \right) + \frac{3\gamma Ki Fo}{k_1} - \right. \\ \left. - \frac{3(k_1 + \gamma)}{k_1} \int_0^1 \eta^2 t^* d\eta \right] - \frac{\sigma_r^{(0)}}{2}, \quad (24)$$

где $k_1 = 0,132$; $\gamma = 0,554$; $\beta = 0,125$; $\nu = 0,4$.

По формулам (24) при $\rho = 0$, $Ki = 1$, $Fo = 0,4$ произведены расчеты температурных напряжений в термочувствительной сфере. При этом $\sigma_r^{(0)}|_{\rho=0} = 0,121$; $\sigma_\varphi^{(0)}|_{\rho=0} = \sigma_\theta^{(0)}|_{\rho=0} = 0,213$. Значения этих напряжений для нетермочувствительной сферы соответственно равны 0,097 и 0,19. Последующие приближения практически не оказывают влияния на величину температурных напряжений в центре сферы. Таким образом, учет зависимости физико-механических характеристик материала от температуры приводит к увеличению радиальных и кольцевых напряжений в центре сферы соответственно на 25 и 12%.

ЛИТЕРАТУРА

1. Лыков А. В. Теория теплопроводности. М., «Высш. школа», 1967. 599 с.
2. Новинский А. Задача о переходной термоупругости бесконечной среды со сферической полостью и свойствами, зависящими от температуры. — Прикл. математика, 1962, 29, № 2, с. 197—205.
3. Подстригач Я. С., Коляно Ю. М. Неустановившиеся температурные поля и напряжения в тонких пластинках. К., «Наук. думка», 1972. 308 с.

Львовский филиал математической физики
Института математики АН УССР

Поступила в редколлегию
20.1 1977 г.

УДК 539.370

Т. Л. Мартынович, М. К. Зварич, В. С. Щукин

НАПРЯЖЕННОЕ СОСТОЯНИЕ АНИЗОТРОПНОЙ БАЛКИ-ПЛАСТИНКИ, В ОТВЕРСТИЕ КОТОРОЙ ВПРЕССОВАН УПРУГИЙ СТЕРЖЕНЬ

Рассмотрим упругое равновесие анизотропной балки-пластинки шириной $2h_0$, толщиной $2h$ и длиной l , ослабленную круговым отверстием радиуса r_1 , в которое впрысковано упругое изотропное кольцо (стержень) постоянного сечения, симметричного относительно срединной плоскости пластинки $хоу$. Предполагаем, что пластинка имеет в каждой точке плоскость упругой симметрии, параллельную плоскости $хоу$. Контакт между телами осуществляется вдоль всего контура отверстия L . Трением между пластинкой и кольцом пренебрегаем. Напряженно-деформированное состояние кольца описывается теорией тонких криволинейных стержней.

При определении напряженного состояния в контактирующих телах будем исходить из граничных условий в интегральной форме [2]. В этом случае задача сводится к нахождению функций $\Phi_j(z_j)$ комплексных переменных $z_j = x + \mu_j y$, аналитических в областях S_j ($j = 1, 2$) [1, 3], и компонент деформаций стержня e_0 и θ_0 .

Положив $z = r_1 \zeta$ и $\bar{z} = r_1 \sigma$, получим, что функции

$$z_j = \frac{r_1}{2} [(1 - i\mu_j) \zeta_j + (1 + i\mu_j) \bar{\zeta}_j^{-1}] \quad (j = 1, 2) \quad (1)$$

конформно переводят соответствующие области S_j на внешность единичного круга γ . При этом для точек окружности γ переменные ζ , $\bar{\zeta}_1$ и $\bar{\zeta}_2$ принимают одно и то же значение $\sigma = e^{i\theta}$.

Граничные условия рассматриваемой задачи в преобразованной области запишутся в виде

$$\begin{aligned} \int_{\gamma} \operatorname{Re} UF(\sigma) d\sigma &= \int_{\gamma} [u_{1n} + \varepsilon^*(\sigma)] F(\sigma) d\sigma, \\ \int_{\gamma} VF'(\sigma) d\sigma &= -r_1 \int_{\gamma} N^{(l)} \bar{F}(\sigma) d\sigma + \Delta_1, \\ \int_{\gamma} VF'(\sigma) d\sigma &= -r_1 \int_{\gamma} N^{(l)} F(\sigma) d\sigma + \Delta_2, \end{aligned} \quad (2)$$

где

$$U = \sigma^{-1} \sum_{j=1}^2 [(p_j + iq_j) \Phi_j(\sigma) + (\bar{p}_j + i\bar{q}_j) \overline{\Phi_j(\sigma)}]; \quad (3)$$

$$V = \sum_{j=1}^2 [(1 + i\mu_j) \Phi_j(\sigma) + (1 + i\bar{\mu}_j) \overline{\Phi_j(\sigma)}];$$

$$\Delta_1 = -\{VF'(\sigma)\}_{\gamma}; \quad \Delta_2 = -\{VF(\sigma)\}_{\gamma}; \quad (4)$$

ε^* — нормальная величина скачка вектора перемещения; μ_j , p_j и q_j — постоянные величины, зависящие от упругих постоянных материала пластинки [1].

Произвольную функцию $F(\zeta)$ и комплексные потенциалы $\Phi_j(\zeta_j)$ представим в виде рядов

$$F(\zeta) = \sum_{n=0}^{\infty} E_n \zeta^{-n}, \quad (5)$$

$$\Phi_j(\zeta_j) = \Phi_j^*(\zeta_j) + \sum_{k=1}^{\infty} A_k^{(j)} \zeta_j^{-k} \quad (j = 1, 2). \quad (6)$$

Здесь $\Phi_j^*(\zeta_j)$ — известные функции, через которые выражаются компоненты напряжений, возникающих в сплошной балке-пластинке (без отверстия) [1, 3].

Компоненты деформации кольца e_0 и θ_0 представим на γ в форме комплексных рядов Фурье

$$e_0 = \alpha_0 + 2 \operatorname{Re} \sum_{k=1}^{\infty} \alpha_k \sigma^k, \quad \theta_0 = \beta_0 + 2 \operatorname{Re} \sum_{k=1}^{\infty} \beta_k \sigma^k. \quad (7)$$

Контактное напряжение вдоль линии соприкосновения пластинки с кольцом $N^{(l)}$ вычисляется по формуле

$$N^{(l)} = \frac{g}{2hr_1} \left[\alpha_0 + \sum_{k=2}^{\infty} (1 - k^2) (\alpha_k \sigma^k + \bar{\alpha}_k \sigma^{-k}) \right], \quad (8)$$

где $g = E^*F$ — жесткость стержня на растяжение.

Нормальную составляющую перемещения u_{1n} контурных точек кольца, согласно работе [2], представим в виде ряда

$$u_{1n} = r_0 \left[\alpha_0 + \left(1 + \frac{r_0}{\eta_c}\right) \sum_{k=2}^{\infty} \frac{1}{1 - k^2} (\alpha_k \sigma^k + \bar{\alpha}_k \sigma^{-k}) \right]. \quad (9)$$

Подставляя (5), (6), (8) и (9) в граничные условия (2) и используя соответствующим образом произвол функции $F(\zeta)$, получаем следующую систему линейных алгебраических уравнений относительно коэффициентов искомых функций:

$$\begin{aligned} 2r_0\alpha_0 - \sum_{j=1}^2 [(p_j - iq_j) A_1^{(j)} + (\bar{p}_j + i\bar{q}_j) \bar{A}_1^{(j)}] &= -2\varepsilon^* + 2 \int_{\gamma} \operatorname{Re} U^* \sigma^{-1} d\sigma, \\ \frac{g}{2h} \alpha_0 - \sum_{j=1}^2 (1 + i\bar{\mu}_j) \bar{A}_1^{(j)} &= \int_{\gamma} V^* \sigma^{-2} d\sigma + \Delta_2, \\ \sum_{j=1}^2 (1 + i\mu_j) \bar{A}_2^{(j)} &= - \int_{\gamma} V^* \sigma^{-3} d\sigma - \frac{1}{2} \Delta_2, \end{aligned}$$

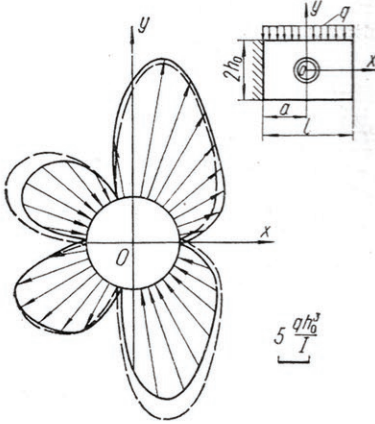


Рис. 1

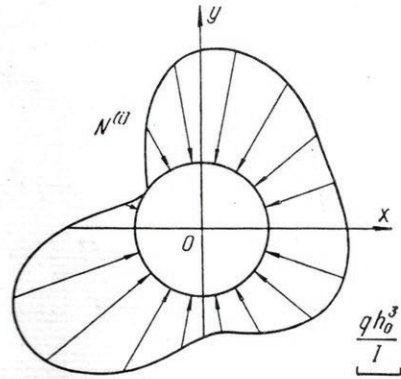


Рис. 2

$$\begin{aligned} \sum_{j=1}^2 (\bar{p}_j + i\bar{q}_j) \bar{A}_2^{(j)} &= -2 \int_{\gamma} \operatorname{Re} U^* \sigma^{-2} d\sigma, \\ \frac{2r_0}{1 - (n-1)^2} \left(1 + \frac{r_0}{r_c}\right) \alpha_{n-1} - \sum_{j=1}^2 [(\bar{p}_j - i\bar{q}_j) \bar{A}_{n-2}^{(j)} + (\bar{p}_j + i\bar{q}_j) \bar{A}_n^{(j)}] &= \\ &= 2 \int_{\gamma} \operatorname{Re} U^* \sigma^{-n} d\sigma, \end{aligned} \quad (10)$$

$$\frac{g(2-n)}{2h} \alpha_{n-1} - \sum_{j=1}^2 (1 + i\bar{\mu}_j) \bar{A}_n^{(j)} = \int_{\gamma} V^* \sigma^{-n-1} d\sigma + \frac{\Delta_2}{n},$$

$$\frac{g}{2h} n \bar{\alpha}_{n-1} - \sum_{j=1}^2 (1 + i\mu_j) A_{n-2}^{(j)} = \int_{\gamma} V^* \sigma^{n-3} d\sigma - \frac{\Delta_1}{n-2},$$

$$r_0 \alpha_{n-2} = -i\eta_c (n-2) \beta_{n-2}, \quad n = 3, 4, 5, \dots$$

Функции U^* и V^* получаем из формул (3) заменой $\Phi_j(\zeta_j)$ на $\Phi_j^*(\zeta_j)$ ($j = 1, 2$).

Нормальные напряжения σ^* в сечении стержня определяются по формуле

$$\sigma^* = E \left(\frac{r_0}{r} e_0 + i \frac{r-r_0}{r_1} \sigma \frac{d\theta_b}{d\sigma} \right), \quad (11)$$

где r_1 — радиус кривизны того волокна, вдоль которого осуществляется контакт кольца и пластинки; r_0 — радиус кривизны нейтрального (для чистого изгиба) волокна стержня L_0 , находящегося на расстоянии η_c от центральной оси.

Для числового примера рассмотрим ортотропную балку-пластинку, вид нагружения и форма закрепления которой указаны на рисунках. Будем

считать, что главные направления упругости материала пластинки параллельны осям выбранной системы координат (рис. 1—4). В качестве материала пластинки взят стеклотекстолит КАСТ-В (ГОСТ 10292-62) [4] и кольцо

прямоугольного поперечного сечения $F = 2h^* \times b$ из дюралюминия со следующими упругими и геометрическими параметрами: $E_1 = 2 \cdot 10^{10}$ Па; $\nu_1 = 0,158$; $\nu_2 = 0,098$; $G = 4 \cdot 10^9$ Па; $E^* = 7 \cdot 10^{10}$ Па; $h^*/h = 1$; $b/r_1 = 0,2$; $l/a = 4$; $l/h_0 = 10$; $r_1/h_0 = 0,25$.

На рис. 1, 2 представлены графики, характеризующие распреде-

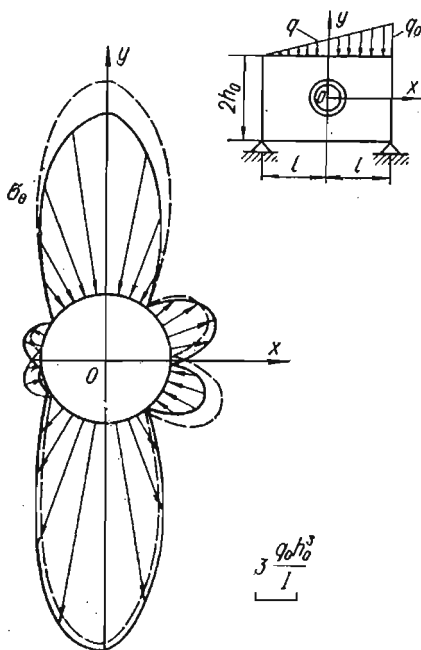


Рис. 3

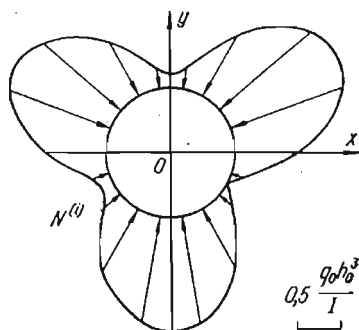


Рис. 4

ление кольцевых σ_θ и контактных $N^{(0)}$ напряжений вдоль контура отверстия в консольной балке при изгибе ее равномерно распределенной нагрузкой q при минимальной величине посадки ϵ_{\min} .

На рис. 3, 4 построены графики распределения кольцевых и контактных напряжений около отверстия балки-пластинки на двух опорах при изгибе ее нормальной нагрузкой, распределенной по линейному закону $q = q_0 \frac{l+x}{2l}$ ($\epsilon^* = \epsilon_{\min}$). Минимальная величина посадки кольца ϵ_{\min}^* определяется из условия $N^{(0)} \leq 0$ на контуре L . Штриховые линии на рисунках отвечают случаю свободного отверстия.

ЛИТЕРАТУРА

1. Лехницкий С. Г. Анизотропные пластинки. М., Гостехиздат, 1957. 463 с.
2. Мартынович Т. Л., Зварич М. К., Шукин В. С. О напряженном состоянии анизотропной пластинки, в криволинейное отверстие которой впрессован замкнутый стержень.— Механика полимеров, 1976, № 2, с. 304—309.
3. Савин Г. Н. Концентрация напряжений около отверстий. М.—Л., Гостехиздат, 1951: 496 с.
4. Физические и механические свойства стеклопластиков. Справочник. Рига, «Зинатне», 1969. 266 с.

Львовский университет
Львовское отделение ВГПИ «Теплоэлектропроект»

Поступила в редколлегию
15.11 1977 г.